

# 64-544 Grundlagen der Signalverarbeitung und Robotik

<http://tams.informatik.uni-hamburg.de/lectures/2012ss/vorlesung/GdSR>

Jianwei Zhang

**T | A** Universität Hamburg  
**M | S** Fakultät für Mathematik, Informatik und Naturwissenschaften  
Fachbereich Informatik  
Technische Aspekte Multimodaler Systeme

Sommersemester 2012

## Gliederung

1. Einführung
2. Grundlagen der Robotik
3. Elementares der Sensorik
4. Verarbeitung von Scandaten
5. Rekursive Zustandsschätzung
6. Fuzzy-Logik
7. Steuerungsarchitekturen

## Agenda

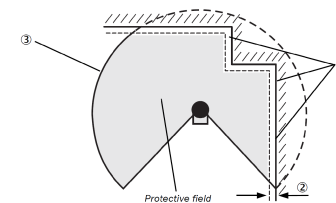
### 4. Verarbeitung von Scandaten

Filtern von Scandaten  
Merkmalsextraktion  
Anwendungen  
Literatur

## Scandaten

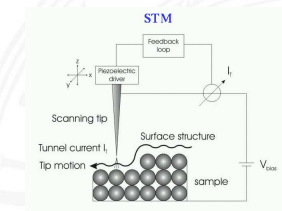
Makrorobotiker:

- ▶ z.B. 2D-Laserscan  
(Menge von Messwerten aus Winkel und Entfernung)



Nanotechnologie:

- ▶ Scanzeile eines Mikroskopes  
(Menge von Messwerten aus x-Koordinate und Höhe)



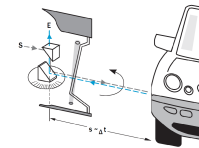
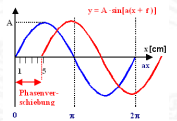
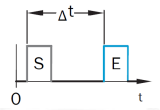
## Verarbeitung von Abstandsmessungen

Für Messungen mit Lasermesssystemen gibt es Verfahren zur

- ▶ Extraktion von Liniensegmenten
- ▶ Extraktion von Ecken
- ▶ Klassifikation von Scanpunkten
- ▶ Filterung von Scans:
  - ▶ Glätten
  - ▶ Datenreduktion

## Exkurs: Laserscanner

- ▶ Time of Flight
  - ▶ gepulster Laserstrahl wird ausgesendet
  - ▶ Zeit zwischen Aussenden und Empfang des Laserimpulses ist direkt proportional zur Entfernung
- ▶ Phasenmessung
  - ▶ Phasenverschiebung zwischen Referenzstrahl und empfangenem reflektierten Signal wird gemessen
  - ▶ Problem: falls Phasenverschiebung  $\geq 360^\circ$
- ▶ interner Drehspiegel lenkt Laserstrahl ab (Laser Radar)



## Scan

- ▶ Ein Laserscan ist eine Menge von Messwerten

$$\{m_i = (\alpha_i, r_i)^T | i = 0 \dots n - 1\}$$



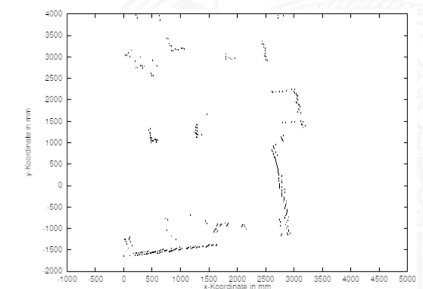
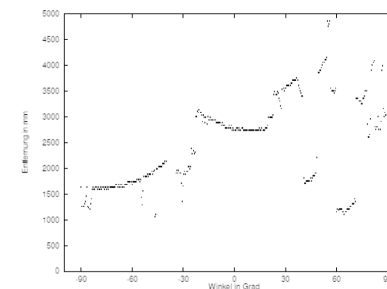
welche in Polarkoordinaten  $(\alpha_i, r_i)^T$  angegeben sind

- ▶ Ein Scanpunkt  $m_i = (\alpha_i, r_i)^T$  kann für eine gegebene Aufnahmeposition  $l = (x, y, \theta)^T$  in absolute Koordinaten umgerechnet werden

$$\begin{bmatrix} x_i \\ y_i \end{bmatrix} = \begin{bmatrix} x \\ y \end{bmatrix} + \begin{bmatrix} \cos \theta & -\sin \theta \\ \sin \theta & \cos \theta \end{bmatrix} \begin{bmatrix} r_i \cos \alpha_i \\ r_i \sin \alpha_i \end{bmatrix}$$

## Scan (cont.)

- ▶ Polarkoordinaten  $(\alpha_i, r_i)$
- ▶ Koordinatensystem des Scanners
- ▶ absolute Koordinaten
- ▶ Aufnahmeposition  $l = (x, y, \theta)^T$  berücksichtigt



## Filtern von Scandaten

- ▶ Probleme von Scandaten:
  - große Datenmenge, ungewünschte Scanpunkte
- ▶ daher oftmals vorab Filterung von Scandaten
- ▶ gängige Filter:
  - ▶ Medianfilter
  - ▶ Reduktionsfilter
  - ▶ Linienfilter

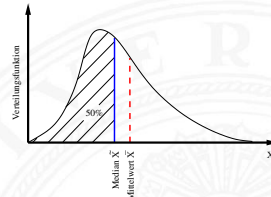
## Medianfilter

- ▶ Der **Medianfilter** erkennt Ausreißer und ersetzt diese durch eine geeignete Messung.
- ▶ Um jeden Scanpunkt wird ein Fenster gelegt, das die Messungen vor und nach dem Punkt enthält.
- ▶ Der Scanpunkt wird ersetzt durch einen Punkt, der denselben Aufnahmewinkel, aber den Median der Entfernungsmessungen des betrachteten Fensters als Entfernung hat.
- ▶  $wSize$  bestimmt die Fenstergröße (Anzahl der Punkte im Medianfilter)
- ▶ große Fenstergröße  $\rightarrow$  starke Glättung
- ▶ Nachteil des Medianfilters: Ecken werden abgerundet

## Medianfilter (cont.)

### Exkurs: Median

- ▶ Median (auch Zentralwert); Grenze zwischen zwei Werten
- ▶ in der Statistik:
  - ▶ stellt den Wert dar, der eine Verteilung in zwei gleich große Teile teilt
  - ▶ Median  $\tilde{X}$  einer diskreten Stichprobe:
    - ▶ höchstens die Hälfte der Werte  $< \tilde{X}$  und höchstens die Hälfte der Werte  $> \tilde{X}$
    - ▶ für eine *geordnete* Stichprobe  $\{x_1, x_2, x_3, \dots, x_n\}$  mit  $n$  Messwerten gilt:



$$\tilde{X} = \begin{cases} x_{\frac{n+1}{2}} & n \text{ ungerade} \\ \frac{1}{2}(x_{\frac{n}{2}} + x_{\frac{n}{2}+1}) & n \text{ gerade} \end{cases}$$

## Medianfilter (cont.)

### Algorithmus Medianfilter

**Eingabe** Scan  $s$ , Fenstergröße  $wSize$

**Ausgabe** Scan  $s'$

```

for i := 0 to numpoints(s)-1 do
  p := scanpoint(s,i)
  for j := 0 to (wSize - 1) do
    k := (i - wSize/2 + j) mod numpoints(s)
    p_k := scanpoint(s,k)
    d(j) := distance-value(p_k)
  endfor
  d_median := median(d)
  scanpoint(s',i) := (angle-value(p), d_median)
endfor
return s'
    
```

$s, s'$ : Feld von Messwerten;  
Messwert: Tupel aus (angle, distance);  
numpoints(s): berechnet number of points von s;  
scanpoint(s, i): liefere Messwert i aus s;  
distance-value(i): liefere distance aus Messpaar i;  
angle-value(i): liefere Winkel aus Messpaar i;  
median(d): berechne den Median der Werte des Feldes d;

## Medianfilter (cont.)

Originaldaten

mediangefilterte Daten



(Darstellung in absoluten Koordinaten)

## Reduktionsfilter

- ▶ Der **Reduktionsfilter** fasst Punktwolken zu einem Punkt zusammen.
- ▶ Eine Punktwolke wird durch einen Radius  $r$  angegeben.
- ▶ Der erste Punkt (Ausgangspunkt) eines Scans gehört zu einer Wolke.
- ▶ Alle folgenden Punkte mit Abstand  $d < 2 \cdot r$  werden zur Wolke hinzugefügt.
- ▶ Beim ersten Punkt mit größerem Abstand wird eine neue Wolke angefangen.
- ▶ Jede Wolke wird durch den Schwerpunkt der ihr zugeordneten Punkte ersetzt.

## Reduktionsfilter (cont.)

**Algorithmus** Reduktionsfilter

**Eingabe** Scan  $s$ , Radius  $r$

**Ausgabe** Scan  $s'$

```

j := 0
p0 := scanpoint(s,0)
psum := p0
n := 1
for i := 1 to numpoints(s)-1 do
  p := scanpoint(s,i)
  if distance(p0,p) < 2r then
    psum := psum + p
    n := n + 1
  else
    ...

```

% beginne neue Punktwolke

% wenn Abweichung der Entfernungen  $< \emptyset$  (euklidischer Abstand) füge  $p$  hinzu; summiere Winkel und Entfernungen separat

## Reduktionsfilter (cont.)

```

...
else
  scanpoint(s',j) := psum/n
  j := j + 1
  p0 := p
  psum := p0
  n := 1
endif
endfor
scanpoint(s',j) := psum/n
j := j + 1
numpoints(s') := j
return s'

```

% schreibe Schwerpunkt der Punktwolke als neuen Punkt nach  $s'$

% initialisiere neue Punktwolke

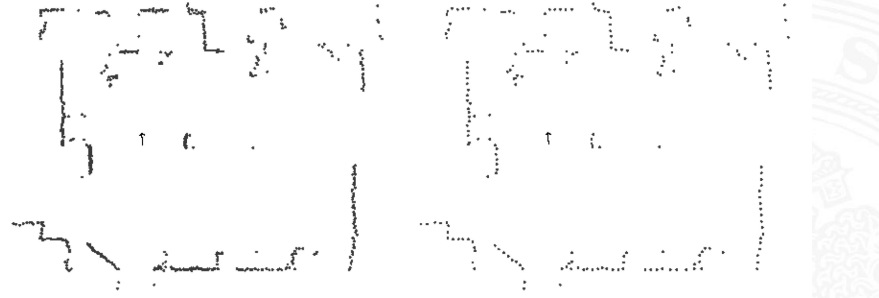
% schreibe Schwerpunkt der letzten Punktwolke nach  $s'$

% übergebe neue Anzahl der Punkte

## Reduktionsfilter (cont.)

Originaldaten

Punktwolken



(Darstellung in absoluten Koordinaten)

## Reduktionsfilter (cont.)

- ▶ Zeitkomplexität des Reduktionsfilters:  $O(n)$ , mit  $n$  Anzahl der Punkte
- ▶ Vorteile des Reduktionsfilters:
  - ▶ Reduzierung der Anzahl der Scanpunkte ohne Verlust wesentlicher Informationen
  - ▶ führt zu kürzeren Laufzeiten bei der Nachbearbeitung eines Scans
  - ▶ ergibt eine bessere Gleichverteilung der Punkte
- ▶ Nachteile des Reduktionsfilters:
  - ▶ Extraktion von Merkmalen nicht mehr so einfach
  - ▶ möglicherweise zu wenig Punkte für ein Merkmal
  - ▶ daher besser: Merkmalsextraktion vor Reduktionsfilter

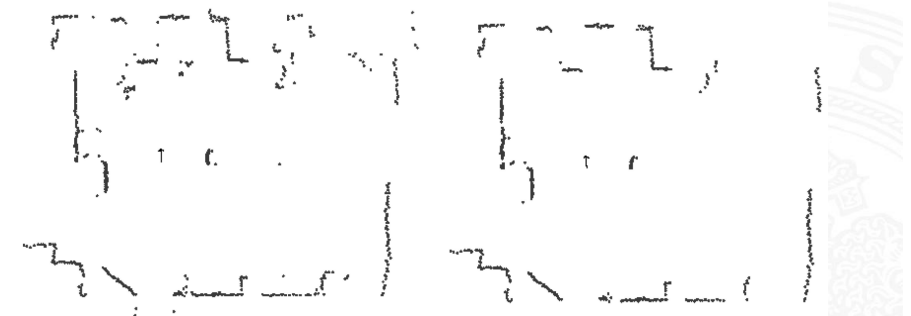
## Linienfilter

- ▶ **Linienfilter** nutzt das später vorgestellte Verfahren zur Linienextraktion
- ▶ Scanpunkte, die keinem Liniensegment zugeordnet wurden, werden entfernt
- ▶ Zeitkomplexität ist gleich der Komplexität der Linienextraktion ( $O(n \log n)$  im mittleren Fall)
- ▶ Der Filter wird angewendet, wenn anschließend angewandte Algorithmen polygonale Umgebungen erfordern.

## Linienfilter (cont.)

Originaldaten

liniengefiltert



(Darstellung in absoluten Koordinaten)

## Merkmalsextraktion

- ▶ keine Verarbeitung von kompletten Scans, sondern Merkmalsextraktion
- ▶ häufige Merkmale: Linien, Ecken
- ▶ Beispiel: Linienextraktion
  - ▶  $maxDist$  ist der maximal zulässige Abstand zweier aufeinander folgender Punkte für die Gruppierung

## Linien

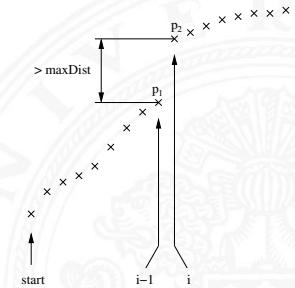
### Algorithmus Linienextraktion

**Eingabe** Scan  $s$ , Parameter  $maxDist$

**Ausgabe** Menge von Linien  $l$

```

l := empty
start := 0
for i:=1 to numpoints(s)-1 do
  p1 := scanpoint(s,i-1)
  p2 := scanpoint(s,i)
  if distance(p1,p2) > maxDist then
    l := l ∪ split(s,start,i-1)
    start := i
  endif
endif
l := l ∪ split(s,start,numpoints(s)-1)
return l
    
```



## Linien (cont.)

### Algorithmus split( $s, start, end$ )

**Eingabe** Scanpunkte, durch  $s$ ,  $start$  und  $end$  festgelegt  
Parameter  $minPointsOnLine$ ,  $maxSigma$

**Ausgabe** Menge von Linien  $l$

```

l := empty
line := make-line(s,start,end)
if numpoints(line) ≥ minPointsOnLine then
  if σ(line) < maxSigma then
    l := l ∪ {line}
  else /* teilen */
    pstart := scanpoint(s,start)
    pend := scanpoint(s,end)
    isplit := start
    d := 0
    % Ausgleichsgerade durch start u. end berechnen
    % Ausgleichsgerade erfüllt Längenkriterium?
    % Ausgleichsgerade erfüllt Abweichungskriterium?
    Fkt. σ(line) berechnet Abweichung der Ausgleichsgeraden vom tatsächlichen Kurvenzug zwischen start u. end
    
```

## Linien (cont.)

```

for i := start+1 to end-1 do
  p := scanpoint(s,i)
  if dist-to-line(p,pstart,pend) > d then
    isplit := i
    d := dist-to-line(p,pstart,pend)
  endif
endif
l := l ∪ split(s,start,isplit)
l := l ∪ split(s,isplit,end)
endif
return l
    
```

% suche Punkt  $i_{split}$  der größten Abweichung zur Verbindungsgeraden( $p_{start}, p_{end}$ )  
% Fkt. dist-to-line berechnet Abstand des Punktes  $p$  zur Verbindungsgeraden

% teile bei  $i_{split}$  und wende  $split$  auf linken und rechten Kurvenzug an



## Linien (cont.)

- ▶ die *split*-Funktion ist rekursiv
- ▶ zuerst wird eine Ausgleichsgerade durch die Punkte *start*, *end* gelegt
- ▶ falls Abweichung  $\sigma(\text{line})$  zu groß:
  - ▶ Aufteilung der Punktmenge
  - ▶ Aufruf von *split* für die neuen Mengen
  - ▶ Punkt an dem aufgeteilt wird, ist der Punkt mit dem größten Abstand zur Geraden durch *start* und *end*
- ▶ *minPointsOnLine* und *maxSigma* bestimmen Anzahl und Qualität der Linien
- ▶ Linienextraktion ist ein typischer *divide and conquer* Algorithmus

## Linien (cont.)

- ▶ Zeitkomplexität ähnlich *Quicksort*:  $O(n^2)$  im schlechtesten,  $O(n \log n)$  im mittleren Fall ( $n$ : Anzahl der Scanpunkte)



## Ecken

- ▶ ähnlich wie Linienalgorithmus
- ▶ aufeinander folgende Linien werden miteinander geschnitten
- ▶ lediglich Ersetzen der Funktion *split* durch die Funktion *corner* notwendig
- ▶ gleiche Zeitkomplexität

**Algorithmus** *corner(s, start, end)*

**Eingabe** Scanpunkte, durch *s*, *start* und *end* festgelegt  
Parameter *minPointsCorner*, *maxSigma*

**Ausgabe** Menge von Ecken *e*

## Ecken (cont.)

```

e := empty
if (end-start) ≥ 2 · minPointsCorner then % noch mind. zwei Ecken möglich?
    p_start := scanpoint(s, start)
    p_end := scanpoint(s, end)
    i_corner := start
    d := 0 % = 0 sinnvoll?
    for i := start+1 to end-1 do % Punkt mit größtem Abstand suchen
        p := scanpoint(s, i)
        if distance-to-line(p, p_start, p_end) > d then
            i_corner := i
            d := distance-to-line(p, p_start, p_end)
        endif
    endfor

```

## Ecken (cont.)

```

if (i_corner - start) ≥ minPointsCorner and
   (end - i_corner) ≥ minPointsCorner then
   corner_line1 :=
     make-line(s, i_corner - minPointsCorner, i_corner)
   corner_line2 :=
     make-line(s, i_corner, i_corner + minPointsCorner)
   if σ(corner_line1) < maxSigma and
      σ(corner_line2) < maxSigma then
     e := e ∪ {make-corner(corner_line1, corner_line2)}
   endif
endif
endif
e := e ∪ corner(s, start, i_corner)
e := e ∪ corner(s, i_corner, end)
endif
return e

```

% generiere Ausgleichsgerade durch  
corner und (corner - mPC)

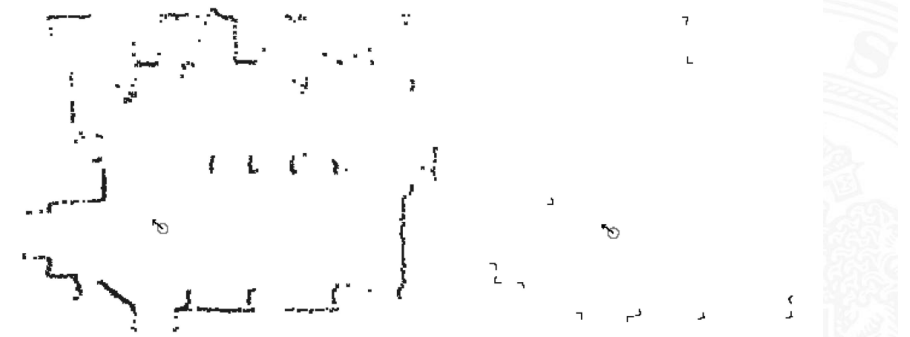
% generiere Ausgleichsgerade durch  
corner und (corner + mPC)

% falls beide corner\_lines Qualitäts-  
kriterium erfüllen, generiere Ecke

## Ecken (cont.)

Originaldaten

extrahierte Ecken



(Darstellung in absoluten Koordinaten)

## Hough-Transformation

- ▶ Verfahren zur Erkennung von Merkmalen wie:
  - ▶ Geraden
  - ▶ Kreisen
  - ▶ sonstigen geometrischen Figuren ...
- ▶ in der Bildverarbeitung häufig angewandt auf Gradientenbildern
- ▶ duale Transformation vom Bild- in Parameterraum
- ▶ mögliche Parameter:
  - ▶ Gerade: Steigung und y-Achsen-Abschnitt  
(bei Wahl anderer Geradengleichungen, andere Parametersätze)
  - ▶ Kreis: Radius und Mittelpunkt
- ▶ Punkt im Bildraum entspricht einer Figur im Parameterraum
- ▶ gesuchtes Merkmal findet sich bei Häufungen im Parameterraum

## Geradenerkennung (Exkurs: Geradengleichungen)

**Normalform**

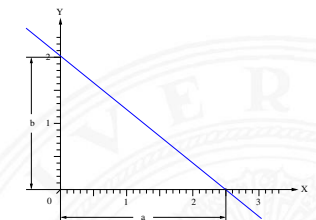
$$y = mx + b$$

Beispielgerade:  $y = -\frac{4}{5}x + 2$

**Achsenabschnittsgleichung**

$$\frac{x}{a} + \frac{y}{b} = 1$$

Beispielgerade:  $\frac{2x}{5} + \frac{y}{2} = 1$



**Allg. Geradengleichung**

$$Ax + By + C = 0$$

Beispielgerade:  $\frac{2}{5}x + \frac{1}{2}y - 1 = 0$  oder

$$2x + \frac{5}{2}y - 5 = 0$$

$$-2x - \frac{5}{2}y + 5 = 0 \text{ oder } \dots$$

$$Ax + By + C = 0$$

$$Ax + By = -C$$

$$\frac{A}{-C}x + \frac{B}{-C}y = 1$$

$$\frac{x}{a} + \frac{y}{b} = 1 \text{ mit } a = \frac{-C}{A};$$

$$b = \frac{-C}{B}$$

## Geradenerkennung (Exkurs: Geradengleichungen) (cont.)

### Hessesche Normalform

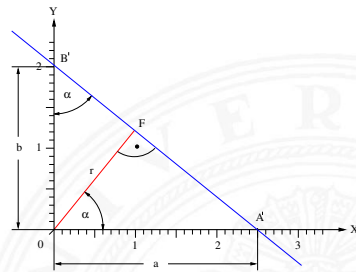
$$x \cos \alpha + y \sin \alpha - r = 0$$

$$\begin{aligned} Ax + By + C &= 0 & | \cdot (-C) \\ -\frac{A}{C}x - \frac{B}{C}y - 1 &= 0 & | a = -\frac{C}{A}, \\ & & | b = -\frac{C}{B} \\ \frac{1}{a}x + \frac{1}{b}y - 1 &= 0 & | \cdot r \end{aligned}$$

$$x \cos \alpha + y \sin \alpha - r = 0$$

Beispielgerade:

$$\begin{aligned} \alpha &= \tan^{-1}\left(\frac{a}{b}\right) = \tan^{-1}\left(\frac{B}{A}\right) = 38,7^\circ \\ r &= a \cos \alpha = 1,95 \end{aligned}$$



$$\begin{aligned} a &= \overline{OA'} = -\frac{C}{A} \\ b &= \overline{OB'} = -\frac{C}{B} \\ \cos \alpha &= \frac{r}{a} \\ \sin \alpha &= \frac{r}{b} \end{aligned}$$

## Geradenerkennung

- ▶ **Parameter:** Steigung und y-Achsen-Abschnitt
- ▶ **Nachteil:** Geraden mit unendlicher Steigung können nicht abgebildet werden
- ▶ **besser:** Gerade in **Hessescher Normalform**

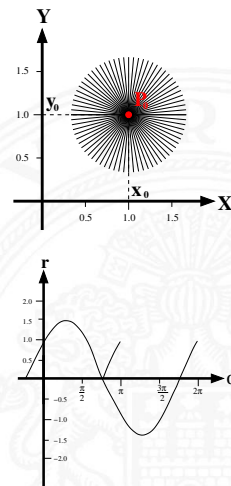
$$r = x \cdot \cos(\alpha) + y \cdot \sin(\alpha)$$

mit

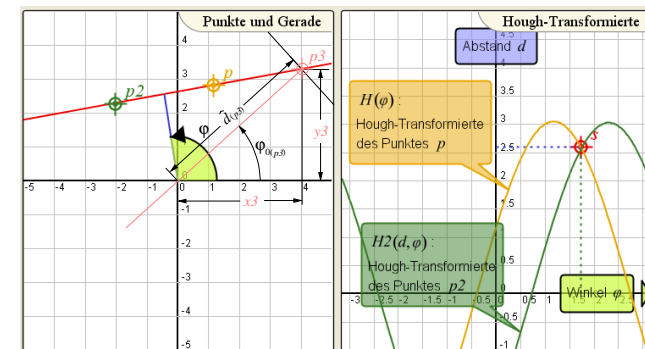
- ▶  $\alpha$ : Winkel zwischen der x-Achse und der Normalen der Geraden; Vollkreiswerte möglich oder Beschränkung auf  $[0, \pi]$
- ▶  $r$ : Abstand vom Ursprung zur Geraden; falls Vollkreiswerte, negative Werte erforderlich, z. B. positiv, falls  $r$  in Richtung der Normalen und negativ, falls  $r$  entgegen der Richtung der Normalen

## Geradenerkennung (cont.)

- ▶ **Annahme:**
  - ▶ Punktemenge im Parameterraum  $\{(\alpha_0, r_0) \dots (\alpha_n, r_n)\}$  mit  $n \rightarrow \infty$
  - ▶ alle genügen der Geradengleichung  $r = x_0 \cdot \cos(\alpha) + y_0 \cdot \sin(\alpha)$
- ▶ alle Punkte entsprechen jeweils einer Geraden im x-y Raum, die durch den Punkt  $(x_0, y_0)$  gehen
- ▶ ein Punkt im x-y Raum entspricht im Parameterraum einer Sinuskurve
- ▶ ein Punkt im Parameterraum entspricht im x-y Raum einer Geraden



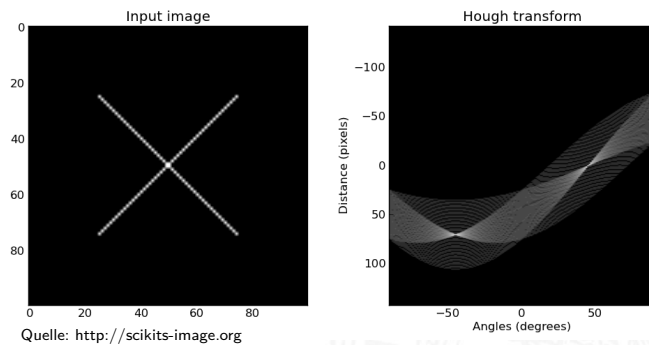
## Geradenerkennung auf Punktmengen



$$\begin{aligned} \varphi_0 &= \arctan\left(\frac{y_i}{x_i}\right) \\ \hat{d} &= \frac{y_i}{\sin \varphi_0} \end{aligned}$$

$$d = \hat{d} \cdot \cos(\omega t + \varphi_0)$$

## Geradenerkennung auf Punktmengen (cont.)



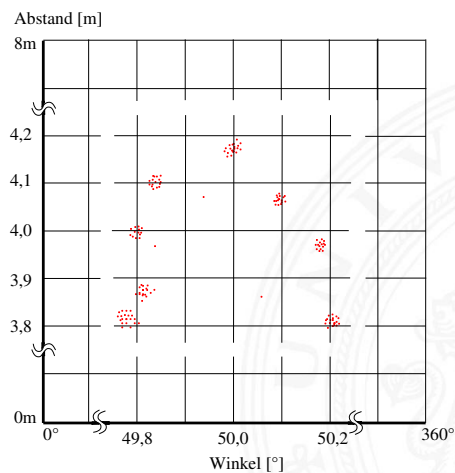
Quelle: <http://scikits-image.org>

- ▶ Parameterraum (Dualraum) aufgespannt durch  $(\varphi, d)$
- ▶ Dualraum repräsentiert als Matrix
- ▶ Geradengleichung mit  $(\varphi_i, d_i)$  inkrementiert Zähler der Zelle  $\varphi_i, d_i$

## Geradenerkennung auf Liniensegmenten

- ▶ Linien-Segmente z. B. aus der Linienerkennung lassen sich in Hessescher Normalform darstellen
- ▶ jedem Linien-Segment wird im Parameterraum ein  $\alpha$ -r-Punkt eingetragen
- ▶ für Häufungen (engl. *Cluster*) wird ein stellvertretender Schwerpunkt berechnet.
- ▶ Parameter des Schwerpunktes beschreiben eine Gerade, auf der (in etwa) die Liniensegmente liegen
- ▶ Schwerpunkte können mit **Hierarchischem Clustering** gefunden werden.

## Geradenerkennung auf Liniensegmenten (cont.)



## Hierarchisches Clustering

zwei grundsätzliche Verfahren:

- ▶ **anhäufende Verfahren** (engl. *agglomerative clustering*)
  - ▶ in der Praxis häufig eingesetzt
  - ▶ es werden schrittweise einzelne Elemente zu Gruppen zusammengefasst
- ▶ **teilende Verfahren** (engl. *divisive clustering*)
  - ▶ es wird eine große Gruppe in kleinere Gruppen unterteilt

## Agglomerative Clustering

1. alle Elemente sind einzelne Cluster
  2. zueinander am nächsten liegenden Cluster werden zusammengefasst
  3. wiederhole Schritt 2. bis
    - ▶ alle Cluster eine bestimmte Distanz zueinander überschreiten oder
    - ▶ eine minimale Anzahl an Clustern erreicht ist
- ▶ Es muss eine **Distanzfunktion  $D$**  für den Abstand zweier Cluster gegeben sein.

## Typische Distanzfunktionen (cont.)

- ▶ **Centroid Method:** Abstand der Mittelwerte

$$D_{CM} = d(\bar{x}, \bar{y})$$

- ▶ **Ward's Method:** Zunahme der Varianz beim Vereinigen von  $A$  und  $B$

$$D_{WM} = \frac{d(\bar{x}, \bar{y})}{1/|A| + 1/|B|}$$

- ▶ und zahlreiche weitere Funktionen...

## Typische Distanzfunktionen

Für den Abstand zweier Cluster  $A$  und  $B$  werden oft folgende Distanzfunktionen gewählt:

- ▶ **Single Linkage Clustering:** Minimaler Abstand zweier Elemente

$$D_{SLC} = \min_{a \in A, b \in B} \{d(a, b)\}$$

- ▶ **Complete Linkage Clustering:** Maximaler Abstand zweier Elemente

$$D_{CLC} = \max_{a \in A, b \in B} \{d(a, b)\}$$

- ▶ **Average Linkage Clustering:** Durchschn. Abstand aller Elemente

$$D_{ALC} = \frac{1}{|A||B|} \sum_{a \in A, b \in B} d(a, b)$$

## Tracking auf Scandaten

- ▶ Informationen über Bewegungsverläufe (engl. **Tracking**) können aus Scandaten gewonnen werden
- ▶ Übliche Verfahren arbeiten in drei Schritten:
  1. Unterteilen der Messdaten in Vordergrund und Hintergrund durch **Background Subtraction**
  2. Gruppieren der Vordergrund-Daten
  3. Verfolgen der Gruppen in konsekutiven Scans

## Background Subtraction

- ▶ Zuerst wird ein Hintergrundmodell erstellt:
  - ▶ Zu jedem Winkel bzw. Koordinate (je nach Datenmodell) und im folgenden Messpunkt genannt wird für einen bestimmten Zeitraum ein Histogramm der Entfernungsmessungen ermittelt.
  - ▶ Das Histogramm für jeden Messpunkt  $\alpha$  wird durch eine Verteilungsfunktion beschrieben (meistens: Gauß-Verteilung mit Mittelwert  $\mu_\alpha$  und Standardabweichung  $\sigma_\alpha$ ).
- ▶ Mit Hilfe des Hintergrundmodells werden die Scans während des Betriebs gefiltert:
  - ▶ Abstandsmessungen die kleiner als  $\mu_\alpha - n \cdot \sigma_\alpha$  werden als Vordergrund klassifiziert.
  - ▶ Die Vordergrund-Messungen können ähnlich wie bei der Linien-Extraktion zu Gruppen zusammengefasst werden.

## Background Subtraction (cont.)

- ▶ Verändert sich der Hintergrund, muss das Verfahren neu initialisiert werden.
- ▶ Dies kann mit Hilfe eines gleitenden Hintergrunds umgangen werden.
  - ▶ Objekte, die als Vordergrund klassifiziert werden, sich aber nicht bewegen, werden nach einiger Zeit zum Hintergrundmodell hinzugefügt.
- ▶ Background Subtraction wird häufig auch für das Tracking von Objekten in der Bildverarbeitung verwendet.

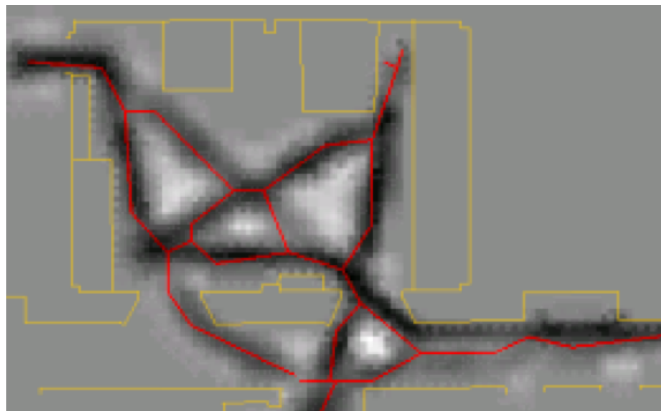
## Gruppierung und Tracking

- ▶ Die Gruppierung erfolgt ähnlich wie bei der Linien-Extraktion.
- ▶ Ausnutzen von Hintergrundinformationen bzw. bekannte Eigenschaften der Vordergrundgruppen.
- ▶ Mittels der Hough-Transformation wäre es möglich nach best. Formen zu suchen.
- ▶ Die Verfolgung in konsekutiven Scans erfolgt dann zumeist über Kalman- oder Partikel-Filter und ähnliche Verfahren.

## Lernen eines Bewegungsgraphen

- ▶ Werden in einem größeren Bereich über einen längeren Zeitraum Bewegungen verfolgt, kann man die Häufigkeit ermitteln, mit der bestimmte Bereiche begangen werden.
- ▶ Aus dieser Häufigkeitsverteilung lässt sich ein Graph generieren, der die Pfade beschreibt, die beschriftet werden.
- ▶ An den Knotenpunkten können Wahrscheinlichkeiten ermittelt werden, in welche Richtung abgebogen wird.
- ▶ Dadurch lassen sich Vorhersagen über Bewegungsabläufe machen.

## Lernen eines Bewegungsgraphen (cont.)



## Praxisbeispiel: Verarbeitung von STM-Scandaten

Aufgabe: Wie lässt sich der gleiche Punkt auf der Oberfläche mehrfach ansteuern?

- ▶ Voraussetzung für autonome Manipulation
- ▶ Position der Spitze ist nicht direkt kontrollierbar/messbar
- ▶ Regelspannung des Z-Piezos liefert Informationen über Topographie
- ▶ aber: tatsächliche Spitzenposition ist unsicher wegen
  - ▶ Temperaturdrift
  - ▶ Piezoartefakte
    - ▶ Hysterese
    - ▶ Kriechen (creep)

Übertragene Aufgabe: Wie lassen sich in Scans etwa der gleichen Region identische Punkte zuordnen?

## Praxisbeispiel: Verarbeitung von STM-Scandaten (cont.)

### Lösung des Zuordnungsproblems

Lokalisierung identischer Punkte in verschiedenen Scans möglich:

- ▶ Ermittlung der Parameter möglich für:
  - ▶ Temperaturdrift
  - ▶ Piezoartefakte
  - ▶ veränderte Spitzengeometrie
 erhöht Wahrscheinlichkeit für korrekte Positionierung
- ▶ Identifizierung von Ausschnitten
- ▶ Zusammenfügen von Teilscans

## Praxisbeispiel: Verarbeitung von STM-Scandaten (cont.)

### Lösungsansatz

Bereitstellung elementarer Lokalisierungsroutinen

- ▶ Ermittlung und Einsatz "natürlicher Landmarken"
- ▶ Berechnung der Transformationen zwischen den Scans

Herausforderungen an die Lokalisation:

- ▶ unterschiedliche Vergrößerungen oder Auflösungen möglich
- ▶ Oberfläche kann sich partiell verändert haben
- ▶ elektrische Eigenschaften der Piezos führen zu Artefakten in der Bildgebung

## Praxisbeispiel: Verarbeitung von STM-Scandaten (cont.)

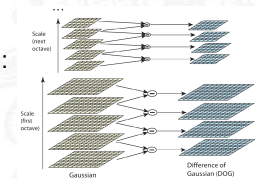
### Scale Invariant Feature Transform (SIFT)-Algorithm

#### Scale Invariant Feature Transform (SIFT)

- ▶ eingeführt 1999 durch D. Lowe
- ▶ Ermittlung und Auswahl sog. "keypoints" eines Bildes
- ▶ Beschreibung eines Keypoints durch 128 Werte (Häufigkeitsverteilung metrisch skalierbarer Merkmale)
- ▶ invariant zu Abbildungsmaßstab, Translation und Rotation
- ▶ Keypoints lassen sich durch Berechnung des quadratischen Abstandes ihrer Merkmale vergleichen

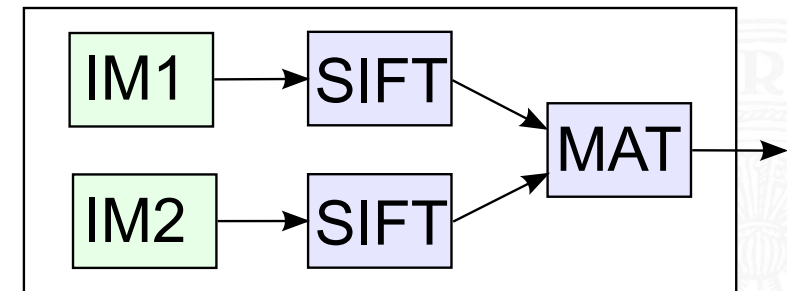
#### SIFT-feature beliebt in Computer/Robot-Vision:

- ▶ Object Erkennung
- ▶ Lokalisation
- ▶ Tracking



## Praxisbeispiel: Verarbeitung von STM-Scandaten (cont.)

### Elementares Vorgehen



- ▶ Features werden für jedes Bild unabhängig ermittelt
- ▶ Feature der Listen werden verglichen (Feature Matching)

## Praxisbeispiel: Verarbeitung von STM-Scandaten (cont.)

### Feature Matching

- ▶ finde die beste Entsprechung eines jeden Features im anderen Bild
- ▶ teste, ob gefundene Entsprechung eindeutig (zur Liste der Matches hinzufügen/entfernen)
- ▶ wende RANSAC (Random Sample Consensus) auf die Liste der Matches an
  - ▶ iteratives Verfahren
  - ▶ ermittle Ausreißer
  - ▶ entferne Ausreißer
- ▶ geringfügige Modifikationen beim Feature Matching auf STM-Scans erforderlich

## Praxisbeispiel: Verarbeitung von STM-Scandaten (cont.)

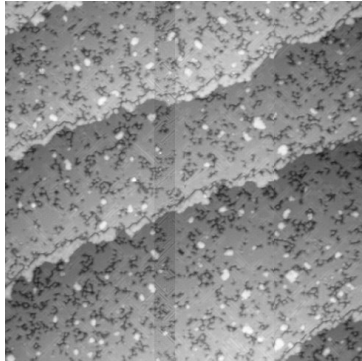
### Exkurs: RANSAC

#### Random Sample Consensus (RANSAC)

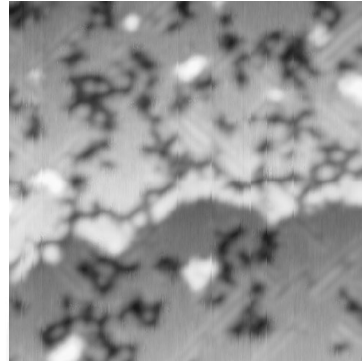
- ▶ vorgestellt 1981 von Martin A. Fischler und Robert C. Bolles
- ▶ Selektion zuverlässiger Messwerte (Eliminierung von Ausreißern)
  - ▶ Bestimmung einer Ausgleichsfunktion
    - ▶ wähle minimal nötige Anzahl Messpunkte zufällig aus
    - ▶ berechne Parameter der Ausgleichsfunktion
    - ▶ Consensus-Set: trage für jeden Messwert ein, ob er Modell unterstützt (Abstand < gegebener Schranke)
  - ▶ berechne  $n$  weitere Ausgleichsfunktionen ( $n$  Verfahrensparameter)
  - ▶ diejenigen Messwerte, die die meisten Modelle unterstützten, scheinen verlässlich
- ▶ anschließend ggf. Berechnung der Ausgleichsfunktion auf diesen von Ausreißern bereinigten Werten

## Praxisbeispiel: Verarbeitung von STM-Scandaten (cont.)

### Beispiel Scans



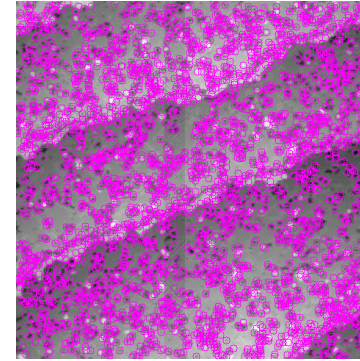
Iron on Tungsten  
Overview: 200 nm x 200 nm



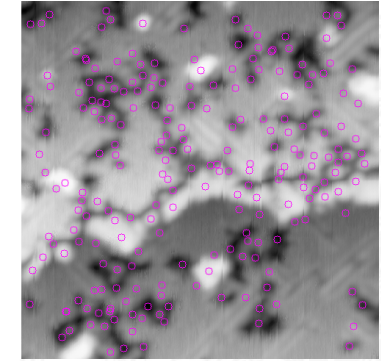
Detail: 45 nm x 45 nm

## Praxisbeispiel: Verarbeitung von STM-Scandaten (cont.)

### Beispiel Scans - detektierte Features

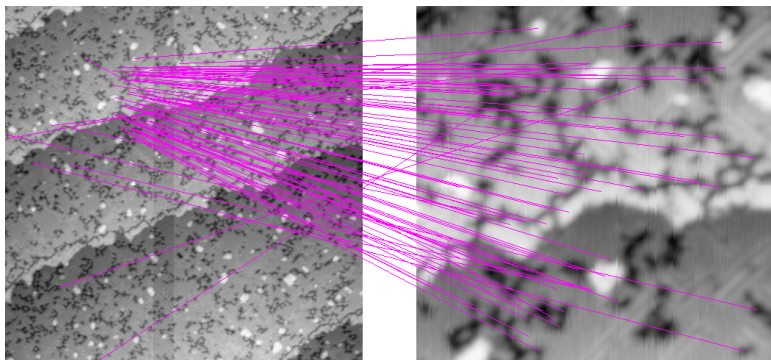


Detected Features: 4497/299



## Praxisbeispiel: Verarbeitung von STM-Scandaten (cont.)

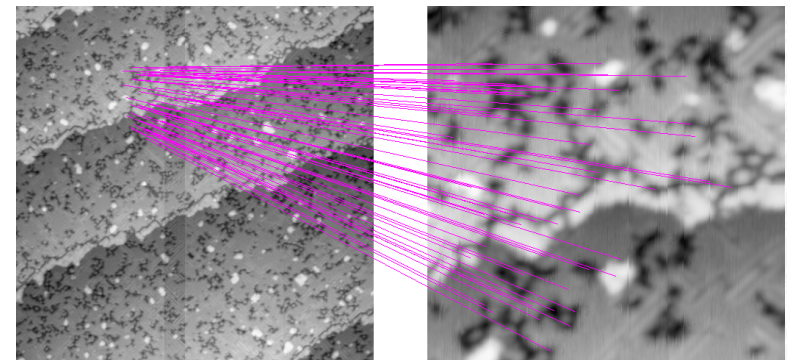
### Beispiel Scans - initiale Matches



82 Matches

## Praxisbeispiel: Verarbeitung von STM-Scandaten (cont.)

### Beispiel Scans - gefilterte Matches



55 verbleibende Matches (Eliminierung doppelter Matches + RANSAC)

## Praxisbeispiel: Verarbeitung von STM-Scandaten (cont.)

### Berechnung der Transformation

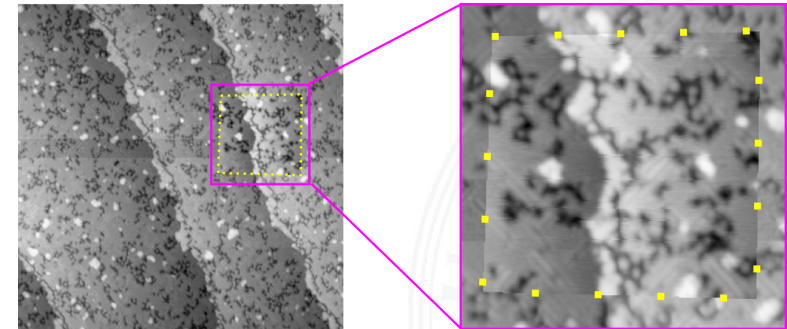
- ▶ Berechnung der homogenen Transformationsmatrix (3x3)
- ▶ Matrix trägt Information über Translation, Skalierung und Rotation

Transformationsmatrix des Beispiels:

$$T = \begin{pmatrix} 0.222433 & -0.012754 & 302.727908 \\ -0.010619 & 0.234036 & 136.412458 \\ -0.000065 & -0.000019 & 1.000000 \end{pmatrix}$$

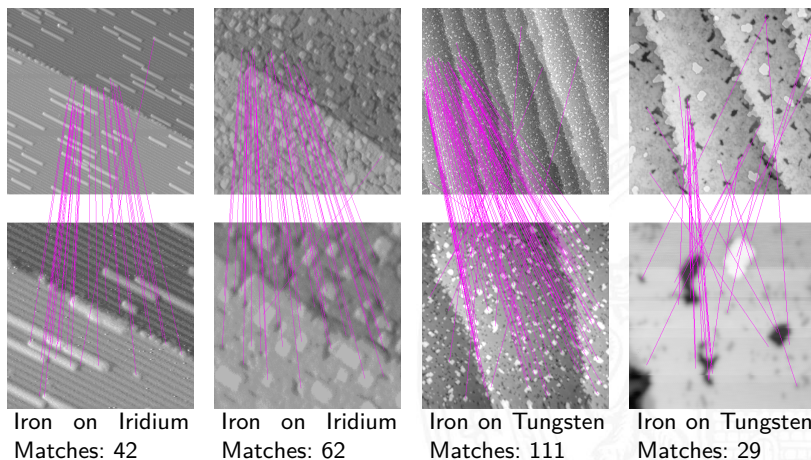
## Praxisbeispiel: Verarbeitung von STM-Scandaten (cont.)

### Rückprojektion



## Praxisbeispiel: Verarbeitung von STM-Scandaten (cont.)

### Experimentelle Ergebnisse



## Praxisbeispiel: Verarbeitung von STM-Scandaten (cont.)

### Anwendungen

Erstellen einer "Karte" der Probe:

- ▶ Beginne mit Übersichtsscan
- ▶ scanne interessante Bereiche mit hoher Auflösung
- ▶ berechne Transformationen zwischen Übersichtsbild und Ausschnittsscans

Bestimmung der Position der Messspitze::

- ▶ scanne einen kleinen Bereich und vergleiche ihn mit vorigen Scans
- ▶ auch anwendbar nach System-Crash oder in-situ Evaporation von Atomen

## Praxisbeispiel: Verarbeitung von STM-Scandaten (cont.)

### Applications (cont.)

#### Drift Bestimmung

- ▶ im laufenden Betrieb möglich
- ▶ ermöglicht quasi online Rekalibrierung des STM

#### Ermittlung der Veränderungen zwischen zwei Scans

- ▶ align Scans zuerst mittels Projektion
- ▶ berechne Unterschied Pixel für Pixel
- ▶ Unterschied zeigt z. B. Erfolg der Manipulation

#### Panorama Stitching

- ▶ Erzeuge große Scans durch zusammenfügen von Einzelscans
- ▶ Auflösung darf variieren

## Praxisbeispiel: Verarbeitung von STM-Scandaten (cont.)

Beispiel zeigt, wie etablierte Verfahren aus Makro-Robotik bzw. Bildverarbeitung mit geringen Modifikationen direkt in Anwendungen in der Nanotechnologie (hier STM-Scans) übernommen werden kann.

- [DH71] **R.O. Duda, P.E. Hart:**  
*Use of the Hough Transformation to Detect Lines and Curves in Pictures.*  
AI Center, SRI International, 333 Ravenswood Ave,  
Menlo Park, CA 94025, Apr 1971, Forschungsbericht  
36.  
SRI Project 8259 Comm. ACM, Vol 15, No. 1

- [Gut00] **J.-S. Gutmann:**  
*Robuste Navigation autonomer mobiler Systeme.*  
Universität Freiburg, Diss., 2000. –  
Kapitel 3, Seite 21-58. –  
URL [www.informatik.uni-freiburg.de/~gutmann/papers/thesis-steffen.ps.gz](http://www.informatik.uni-freiburg.de/~gutmann/papers/thesis-steffen.ps.gz)

- [NMTS] **Viet Nguyen, Agostino Martinelli, Nicola Tomatis, Roland Siegwart:**  
A Comparison of Line Extraction Algorithms using 2D Laser Rangefinder for Indoor Mobile Robotics.  
In: *Proceedings of the IEEE/RSJ International Conference on Intelligent Robots and Systems, IROS 2005.*  
Edmonton, Canada, . –  
URL [asl.epfl.ch/index.html?content=epfl/publications.php](http://asl.epfl.ch/index.html?content=epfl/publications.php)



[NZS<sup>+</sup>04] Katsuyuki Nakamura, Huijing Zhao, Ryosuke Shibasaki,  
Kiyoshi Sakamoto, Tomowo Ooga, Naoki Suzukawa:  
Tracking Pedestrian by using Multiple Laser Range  
Scanners.  
In: *Proceedings of the XXth ISPRS Congress*.  
Istanbul, Turkey, 12–23 July 2004, S. 1260–1265

[Wes06] Martin Weser:  
*Multimodales Tracking und Trajektorien-Vorhersage*.  
Universität Hamburg, Department Informatik, TAMS,  
Diplomarbeit, 2006